

NUEVAS ADICIONES DE NEREIDIDAE (ANNELIDA: POLYCHAETA) PARA LAS COSTAS DE VENEZUELA

ILDEFONSO LIÑERO-ARANA & OSCAR DÍAZ DÍAZ

*Instituto Oceanográfico de Venezuela, Universidad de Oriente, Cumaná, Venezuela.
ilineroarana@yahoo.es*

RESUMEN: En colectas de bentos realizadas en varias localidades costeras del litoral nororiental de Venezuela, se recolectaron 43 ejemplares de poliquetos de la familia Nereididae. Se identificaron 6 especies que constituyen nuevos registros para Venezuela: *Nereis oligohalina*, *Neanthes acuminata*, *Neanthes egregiacirrata*, *Ceratonereis mirabilis*, *Laeonereis acuta* y *Namalycastis* cf. *abiuma*.

Palabras clave: Nereididae, Polychaeta, bentos, macrofauna, Mar Caribe.

ABSTRACT: Forty-three polychaete individuals of the family Nereididae were collected from benthic samplings in several coastal locations in northeastern Venezuela. Six species were identified and constitute new records for Venezuela: *Nereis oligohalina*, *Neanthes acuminata*, *Neanthes egregiacirrata*, *Ceratonereis mirabilis*, *Laeonereis acuta*, and *Namalycastis* cf. *abiuma*.

Key words: Nereididae, Polychaeta, benthos, macrofauna, Caribbean Sea

INTRODUCCIÓN

Entre los poliquetos, la familia Nereididae LAMARCK 1818, es una de las mejor conocidas, considerándose que actualmente existen cerca de 500 especies agrupadas en 42 géneros (SANTOS *et al.* 2006). Para la costa de Brasil, se han registrado cerca de 47 especies (SANTOS & LANA 2003). Para el Caribe colombiano, BÁEZ & ARDILLA (2003) señalan que han sido registrados 8 géneros y 18 especies. En Venezuela (HARTMAN 1944; AMARAL & NONATO 1975; LIÑERO-ARANA & REYES-VÁSQUEZ 1979; LIÑERO-ARANA 1983; GLASBY 1999; DÍAZ & LIÑERO-ARANA 2002; VANEGAS *et al.* 2007); se han registrado 8 géneros que incluyen 14 especies, las cuales sumadas a las seis que se registran en el presente estudio, da un total de 20 especies, número similar al registrado en el litoral colombiano. BONE (1999) realiza un estudio acerca del conocimiento de los poliquetos en Venezuela, estableciendo comparaciones entre la zona centro-occidental y la zona oriental, manifestando que se ha registrado un total de 40 familias, 138 géneros y 206 especies y concluye señalando que un elevado porcentaje (72,5%) de las familias son comunes para ambas zonas, pero que el grado de similitud de taxones

entre ellas se hace menor para niveles taxonómicos más precisos, y con relación a la familia Nereididae señala que únicamente dos especies (*Nereis falsa* y *Platynereis dumerilii*) son comunes para ambas zonas. Para la región del Gran Caribe se han registrado 69 familias, 447 géneros y 1240 especies (SALAZAR-VALLEJO, 1996), de los cuales 17 géneros y 48 especies pertenecen a la familia Nereididae.

Materiales y métodos. Los especímenes en los que se basa este estudio provienen de varias colecciones realizadas en distintas localidades de la costa nororiental de Venezuela, recolectando manualmente algas y fragmentos de colonias coralinas muertas, raíces de mangles o dragando en sustratos blandos, con draga Ekman o con cilindro de PVC, como método de colecta. Las muestras de sedimento fueron tamizadas en una malla de 1 mm de apertura y los ejemplares retenidos se colocaron en frascos con agua de mar, con el fin de mantenerlos vivos hasta su procesamiento en el laboratorio, donde fueron anestesiados con una solución de hidrato de cloral para inducir la eversión de la faringe (LIÑERO-ARANA & REYES-VÁSQUEZ, 1979). Posteriormente, fueron fijados en formalina al 8% en agua de mar durante al menos 24 horas,

al cabo de las cuales fueron lavados con agua dulce y preservados en etanol al 70%. Los dibujos se realizaron con la ayuda de cámaras lúcidas adaptadas a un microscopio estereoscópico y a un microscopio. Los ejemplares se encuentran depositados en la colección de referencia del Laboratorio de Poliquetos del Instituto Oceanográfico de Venezuela, codificados como sigue: LBP (Laboratorio de Poliquetos), separado por un guión de las dos primeras letras de la familia a la que pertenece el material (Ej. Ne para la familia Nereididae), seguido del número de catálogo, barra inclinada y número de especímenes.

RESULTADOS

Ceratonereis mirabilis KINBERG, 1866 (Figuras 1A-G)

Ceratonereis mirabilis. HARTMAN, 1951: 48. GARDINER, 1976: 147, Fig. 14f-j; PERKINS 1980: 4-11, figs. 1-4; TAYLOR 1984: 31.30, figs. 31.27-31.28; HARTMANN-SCHRÖDER 1985: 43, fig. 23; SALAZAR-VALLEJO & JIMÉNEZ-CUETO, 1996-97: 363-365, figs. 5, 20, 21, 42, 44.

Ceratonereis (Ceratonereis) mirabilis. de LEÓN-GONZÁLEZ *et al.* 1999: 668-669.

Material examinado. LBP-Ne0012/1, El Chaure, bahía de Pozuelos (10° 15' 05" N, 64° 36' 37" O), 23-02-98, recolectado entre algas ulváceas, 1,5 m; LBP-Ne0013/4, Mangle Quemao, bahía de Mochima, (10° 22' 30" N, 64° 20' 53" O), 12-07-04, entre algas calcáreas, 0,5 m.

Caracterización. El ejemplar de mayor tamaño con 67 setígeros, 16 mm de longitud y 1 mm de anchura. Prostomio con dos pares de ojos, dos antenas que sobrepasan en longitud a los palpos; cuatro pares de cirros tentaculares, los más largos alcanzan hasta el setígero 6 (Fig. 1A). Faringe sin paragnatos en el anillo oral; en el anillo maxilar se disponen de la siguiente manera: I: sin paragnatos, II: 10 en grupo transversal, III: 8 en dos hileras transversales, la anterior con 3, la posterior con 5, IV: 7 en el área izquierda y 12 en la derecha, dispuestos en dos hileras arqueadas. Parapodios birrámeos, los anteriores con dos lóbulos notopodiales, el superior corto, cirro dorsal delgado y largo, aproximadamente seis veces más largo que el lóbulo inferior; neuropodio con lóbulo superior subtriangular, el inferior corto y digitiforme; cirro ventral cirriforme. Setígeros medios con lóbulo notopodial superior aproximadamente un tercio de la longitud del inferior, cirro

dorsal largo; neuropodio con lóbulo superior ancho, el inferior digitiforme, sobrepasa ligeramente en longitud al superior, cirro ventral alargado, aproximadamente 3 ó 4 cuatro veces menor que el dorsal (Fig. 1B). Setígeros posteriores similares a los anteriores, con lóbulos y cirros menos desarrollados (Fig. 1C). Parapodios anteriores con setas notopodiales espiníferas sesquigonfas con artejo largo, unidentado y ligeramente curvo (Fig. 1D) a partir del setígero 3, y a partir del setígero 16 además falcíferas con espinas basales cortas que se incrementan de longitud hacia el extremo bífido (Fig. 1E-G). Neurosetas supraciculares del haz anterior falcíferas heterogonfas unidentadas con artejo corto, las del haz posterior espiníferas sesquigonfas bidentadas; neurosetas infraciculares espiníferas heterogonfas y falcíferas bidentadas.

Coloración. Preservado en alcohol, la coloración es crema clara.

Observaciones. PERKINS (1980) considera que *C. mirabilis* de Brasil y *C. tentaculata* de Hawaii, referidas como especies sinónimas por AUGENER (1913) y HARTMAN (1948), son especies diferentes, basándose principalmente en que en *C. tentaculata* los lóbulos notopodiales son subiguales a lo largo del cuerpo, mientras que en *C. mirabilis* el lóbulo notopodial superior de los parapodios medios es cerca de la mitad de la longitud del inferior, y extremadamente reducido en los posteriores, como también se presentan en los especímenes de Brasil (SANTOS & LANA, 2003: figs. 2, 3) y en el nuestro.

Distribución. Océanos Índico, Pacífico y Atlántico; en el Atlántico Occidental, desde las Bermudas y Florida hasta Brasil (SANTOS & LANA, 2003).

Laeonereis acuta (TREADWELL, 1923) (Figuras 2A-F)

Laeonereis culveri: HARTMAN 1945: 21; 1951: 44, Lám. 13, figs. 3-4; PETTIBONE 1971: 14-19, figs. 14-19 (en parte).

Laeonereis pandoensis, ORENSANZ & ESTÍVARIZ 1971: 99-101, figs. 10-22.

Laeonereis acuta: ORENSANZ & GIANUCA 1974: 9-10; SANTOS & LANA 2001: 144-146, figs. 26-32.

Material examinado. LBP-Ne0016/15, Bocana de la laguna de Bocaripo (10° 39' 45" N, 63° 49' 26" O), 23-10-93, en sustrato arenofangoso, 1 m; LBP-Ne0017/4, laguna

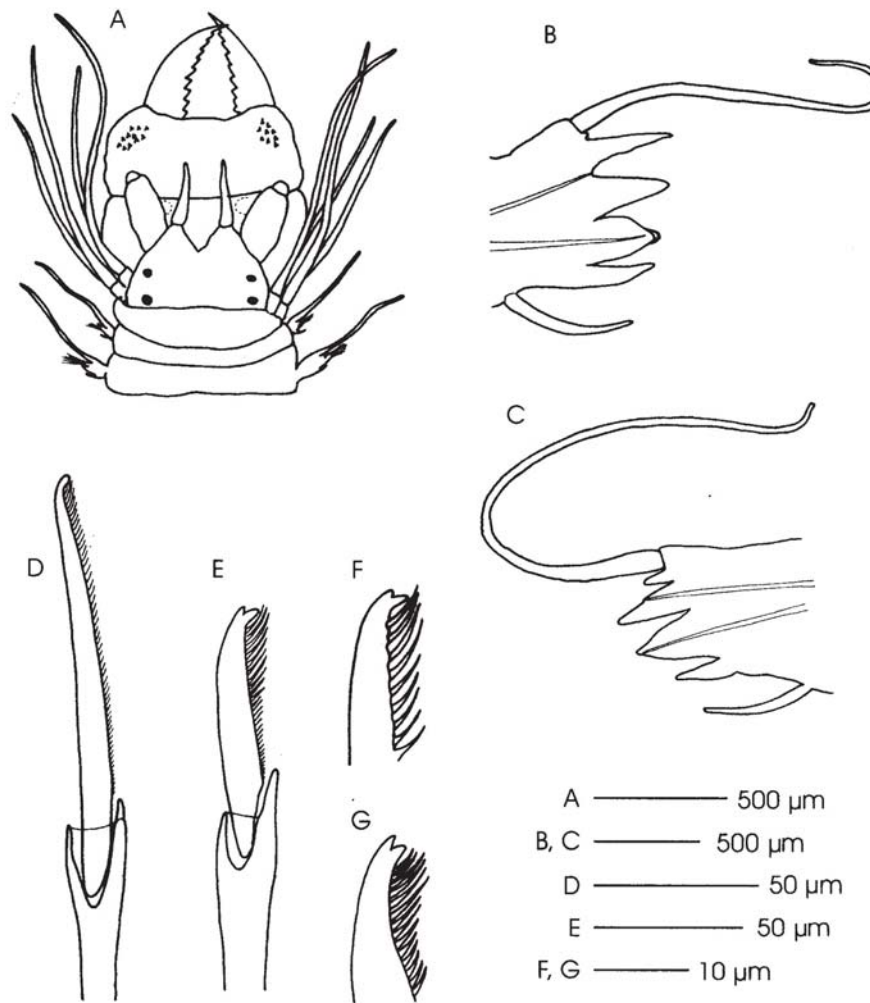


Fig. 1. *Ceratonereis mirabilis*. A, región anterior en vista dorsal; B, parapodio medio (25); C, parapodio posterior (55); D, falcígera sesquigonfa notopodial de parapodio medio; E, falcígeras bífidas neuropodiales.

de Chacopata (10° 40' 18'' N, 63° 47' 56'' O), 11-02-95, en sustrato arenofangoso, 0,5 m.

Caracterización. El mayor ejemplar con 66 setígeros, 49 mm de longitud y 2,4 mm de anchura, sin incluir las setas. Prostomio con un par de antenas cortas; dos pares de ojos en arreglo ligeramente trapezoidal. Peristomio con 4 pares de cirros tentaculares, el par de mayor longitud alcanza el setígero 4 (Fig. 2A). Faringe sin paragnatos, con papilas: I= 4 papilas; II= 9-12; III= 3 grupos, en disposición transversal, cada uno con 4-6 papilas; IV= 5-8; entre los

grupos laterales de papilas del área III y los grupos de papilas del área IV, se disponen 2-3 papilas; VI = un par de papilas cónicas relativamente grandes (Fig. 2B). Primeros dos setígeros con notopodio reducido al cirro dorsal cónico corto y lóbulo; neuropodio con dos lóbulos de menor tamaño que el notopodial (Fig. 2C). Parapodios anteriores con cirro dorsal corto, lóbulo notopodial superior ancho basalmente; lóbulo intermedio corto y lóbulo inferior aproximadamente de la misma longitud que el superior; neuropodio con 2 lóbulos, cirro ventral corto (Fig. 2D). Parapodios posteriores con cirro dorsal cónico

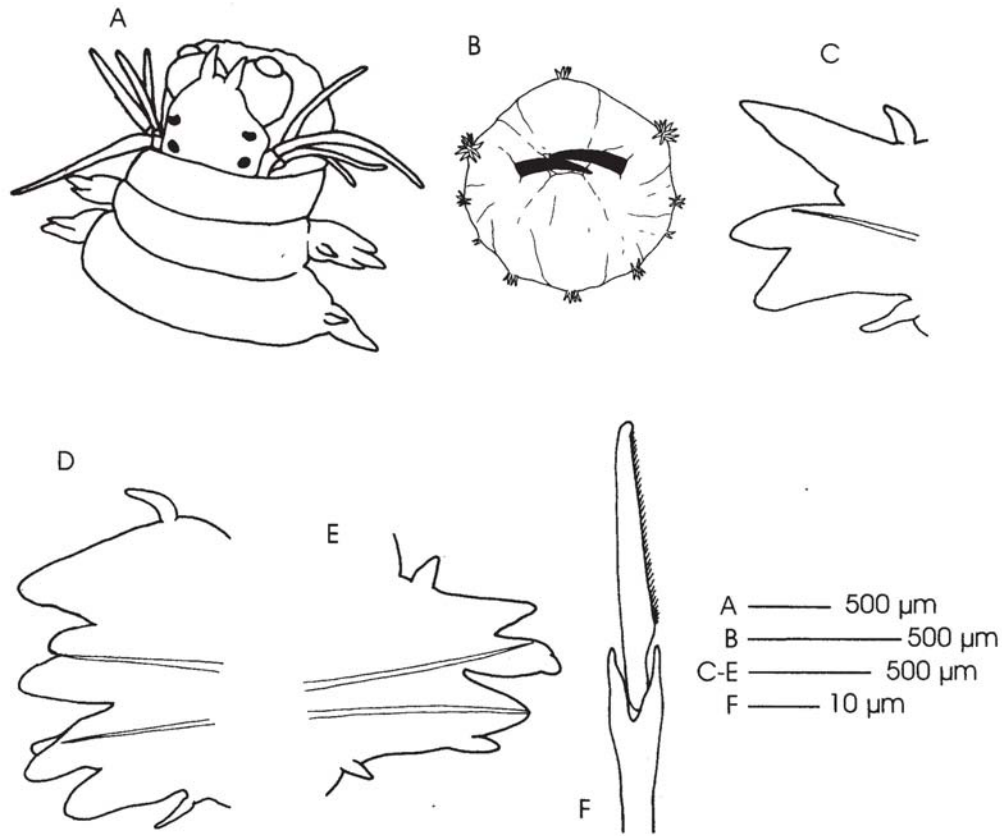


Fig. 2. *Laeonereis acuta*. A, región anterior en vista dorsal; B, faringe en vista frontal; C, setígero 2; D, setígero anterior (18); E, setígero posterior (58); F, falcígera subacicular.

corto, lóbulo notopodial superior más corto que el inferior; neuropodio con lóbulo superior triangular, el inferior corto digitiforme, cirro ventral corto (Fig. 2E) Notosetas supraciculares espiníferas homogonfas; neurosetas supraciculares espiníferas homogonfas, las infraciculares espiníferas y falcíferas homogonfas con artejo distal alargado y extremo redondeado (Fig. 2F).

Observaciones. De acuerdo a PETTIBONE (1971), se consideraba que *Laeonereis culveri* (WEBSTER, 1880) tenía una amplia distribución geográfica, desde Connecticut hasta Uruguay. ORENSANZ & ESTÍVARIZ (1971) manifiestan que *L. pandoensis* (MONRO, 1937) difiere de *L. culveri* de Norteamérica en la relación entre los lóbulos notopodiales de los setígeros posteriores; más tarde, ORENSANZ & GIANUCA (1974) sinonimizan *L. pandoensis* con *L. acuta*, y señalan que existen diferencias constantes entre los

especímenes subtropicales de *L. culveri* de Norteamérica y los de Sudamérica, referidas principalmente a las proporciones relativas de los lóbulos notopodiales de los setígeros posteriores. En los ejemplares de Norteamérica el lóbulo dorsal es siempre mayor que el ventral, mientras que en los de Sudamérica son subiguales, por lo que consideran separar los especímenes de Norteamérica, que corresponderían a *L. culveri* de los de Sudamérica (*L. acuta*). SANTOS & LANA (2001) señalan, para ejemplares colectados en Sergipe y Bahía de Todos los Santos (Brasil), las mismas características indicadas para los ejemplares de Uruguay y Argentina, y coinciden con los señalamientos de ORENSANZ & GIANUCA (1974) de separar las dos especies. Los ejemplares de las lagunas de Bocaripo y Chacopata poseen el lóbulo dorsal de los setígeros posteriores más corto que el ventral; por otra parte, el número y distribución de las papilas faríngeas coincide

con las señaladas para *L. pandoensis*; así mismo, el parapodio 15 de esa especie (ORENSANZ & ESTÍVARIZ, 1971, fig. 15) es muy similar a los de los ejemplares examinados.

Distribución. Desde Sergipe (Brasil) hasta Uruguay (SANTOS & LANA, 2001), costa norte de Venezuela (este estudio).

Namalycastis cf. *abiuma* (GRUBE)
(Figura 3A-K)

Namalycastis abiuma, GLASBY, 1999: 31-35, figs. 1c, 8a, b, 9, 10a-h; SANTOS & LANA 2001: 138, figs. 1-6.

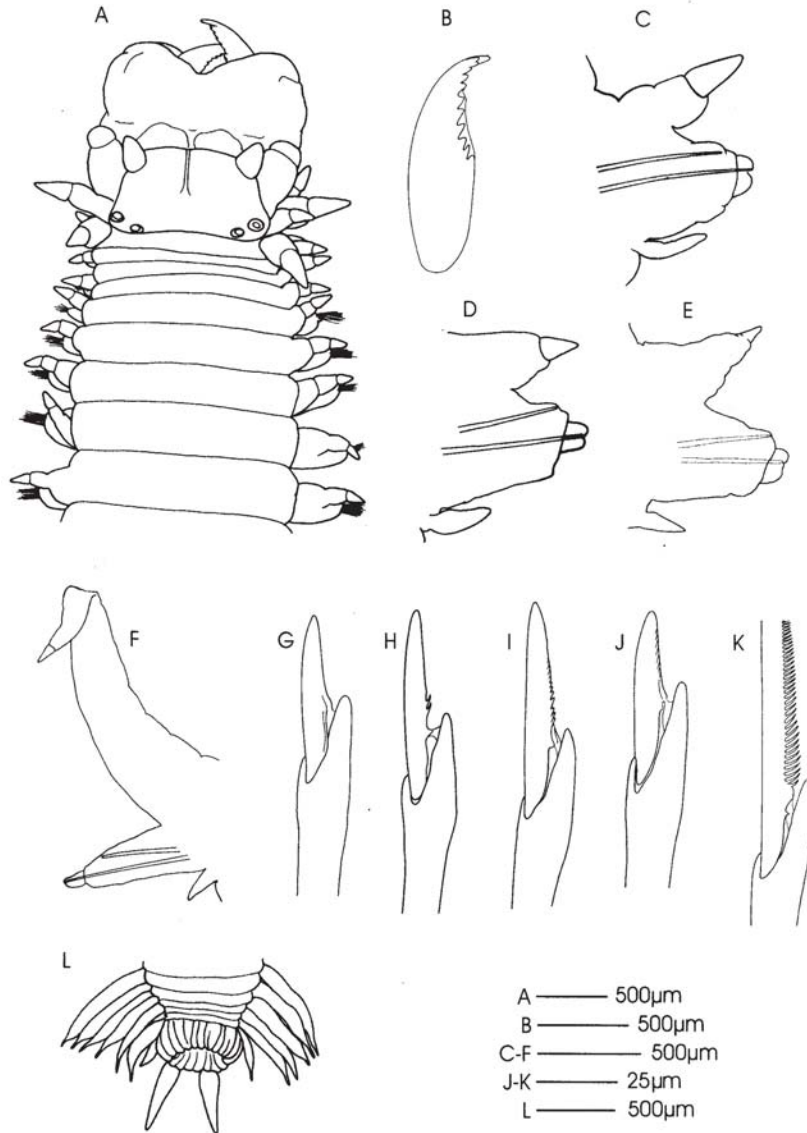


Fig. 3. *Namalycastis* cf. *abiuma*. A, región anterior en vista dorsal; B, mandíbula derecha; C, setígero 3; D, setígero 30; E, setígero 60; F, setígero 120; G, falcígera lisa; H-J, falcígeras con dientes; K, espinígera subneuroacicular de setígero posterior (120); L, región posterior.

Material examinado. LBP-Ne0052/11Caño Morocoto (no se dispone de las coordenadas geográficas), 30-05-03, encontrado en un pedazo de tronco, 0-1 m, salinidad de 9 psu.

Caracterización. Prostomio trapezoidal, con surco longitudinal anterior, aproximadamente dos veces más ancho que largo. Antenas cortas, alcanzan el extremo del palporo. Dos pares de ojos sin lentes. Peristomio con cuatro pares de cirros tentaculares, cirrostilos lisos. Cirros tentaculares posterodorsales alcanzan el setígero 3 (Fig. 3A). Mandíbulas con diente terminal robusto y margen con 4 dientes subterminales y de 4 a 6 dientes proximales envainados (Fig. 3B). Parapodios con cirro dorsal incrementándose en longitud progresivamente hacia el pigidio, alcanzando gran desarrollo en los setígeros de la región posterior; lóbulo acicular neuropodial bilobulado, cirro ventral más corto que el lóbulo. Setígero 3 con cirro dorsal corto, cirroforo grueso y cirrostilo cónico corto (Fig. 3C), setígeros anteriores similares (Fig. 3D). Setígero 60 con cirro dorsal comprimido, ancho en la base, cirrostilo distal cónico corto, lóbulo setígero ancho, cirro ventral cónico corto (Fig. 3E). Setígero posterior (120) con cirro dorsal comprimido, muy desarrollado, casi tres veces más largo que el lóbulo, cirro ventral cónico corto (Fig. 3F). Setas notopodiales espiníferas homogonfas con margen finamente serrado, desde el setígero 1-3. Setas supraneuroaciculares del fascículo posterior espiníferas sesquigonfas con margen finamente serrado; falcíferas heterogonfas con artejo distal liso (Fig. 3G) en el fascículo anterior. Setas subneuroaciculares espiníferas heterogonfas en el fascículo posterior y falcíferas heterogonfas con margen liso en el fascículo anterior. En forma errática pueden aparecer en algunos setígeros, de 1 a 3 falcíferas con margen serrado, con un número variable de dientes y con diferentes grados de desarrollo, desde dos dientes proximales (Fig. 3H) hasta artejos con margen serrado con dientes rudimentarios (Figs. 3I,J). Las espiníferas subneuroaciculares heterogonfas de los setígeros posteriores con serraciones medianas (Fig. 3K). Pigidio con borde circular plurihendido. Ano terminal con dos cirros (Fig. 3K).

Coloración. Los ejemplares vivos presentan el dorso de color marrón verduzco, más intenso en la región posterior.

Hábitat. Los especímenes fueron recolectados de fragmento de tronco de árbol a la orilla de un riachuelo con agua de 9 psu, situado aproximadamente a unos 40 km de la costa oeste del golfo de Paria.

Observaciones. GLASBY (1999) asigna al taxón informal "grupo de especies" de *N. abiuma* especímenes que se asemejan a la descripción del holotipo (*Lycastis abiuma*), pero que, en conjunto, muestran una variación mayor que la que se puede atribuir a las especies de esta subfamilia. SANTOS & LANA (2001), basándose en esta consideración designan como *N. abiuma* los especímenes recolectados en Sergipe. Los ejemplares examinados difieren de *N. abiuma* principalmente por poseer falcíferas con borde liso, aunque ocasionalmente se presenten falcíferas serradas en algunos parapodios. La falcígera supraneuroacicular del setígero 10 del holotipo (Fig. 10f, GLASBY, 1999) presenta serrada más de la mitad basal del artejo distal (12 dientes); SANTOS & LANA (2001), en la fig. 4, presentan una falcígera con escasos dientes basales (3). Por otra parte, en los ejemplares de Sergipe, el cirro dorsal del setígero 37 (fig. 2) sobrepasa ampliamente el lóbulo setígero, mientras que en los parápodos anteriores y medios de nuestros ejemplares el cirro no sobrepasa el lóbulo, y posee ceratóforo ancho y muy conspicuo.

Neanthes acuminata (EHLERS, 1868)
(Figura 4A-F)

Neanthes (Neanthes) arenaceodentata: PETTIBONE, 1963, 162-165, fig. 44i, 45e.

Nereis (Neanthes) acuminata: GARDINER, 1976: 149, figs. 15e-f.

Neanthes caudata: RENAUD, 1956: 16-17, fig. 11.

Neanthes acuminata: TAYLOR, 1984: 31.15, figs. 31.11, 31.12a-2. SALAZAR-VALLEJO & JIMÉNEZ-CUETO, 1996-97: 465, figs. 6, 22, 23, 45. DE LEÓN-GONZÁLEZ *et al.* 1999: 668-669.

Material examinado. LBP-Ne0053/7laguna de Chacopata, (10°40'18''N, 63°47'56''O) 12/07/85, recolectados en sustrato arenogangoso en *Thalassia*, 0,5 m.

Caracterización. Ejemplares entre 6 mm de longitud y 1 mm de anchura (42 setígeros) y 16 mm de longitud y 1,5 mm de anchura con 58 setígeros, faltando el extremo posterior. Prostomio con dos pares de ojos del mismo tamaño. Palpos biarticulados con palpostílos pequeños. Antenas no alcanzan la articulación de los palpos. Cuatro pares de cirros tentaculares, el par mayor alcanza el setígero 7. Faringe con paragnatos cónicos dispuestos de la siguiente manera: I: 17 conos en grupo oval; II: 25 conos en un grupo curvado; III: 32 conos en grupo oval; IV: 30 conos en grupo creciente; V-VIII: una banda continua de hileras de conos medianos y pequeños en gran número.

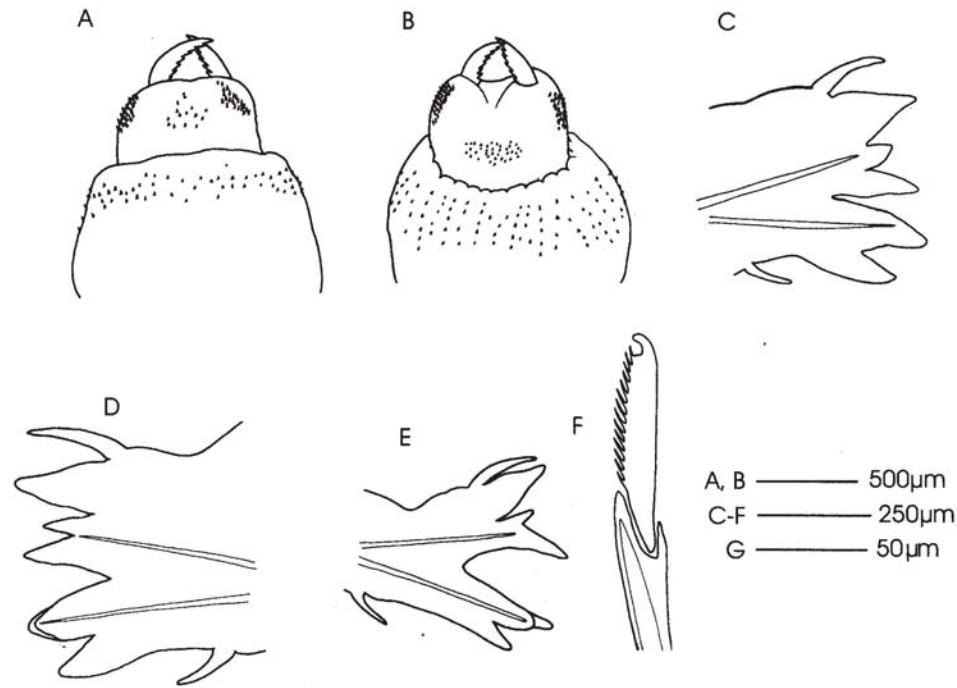


Fig. 4. *Neanthes acuminata*. A, faringe en vista dorsal; B, faringe en vista ventral; C, setígero anterior (12); D, setígero medio (30); E, setígero posterior (55); F, falcígera neuropodial.

En la región correspondiente a las áreas VII-VIII la banda es más ancha y los paragnatos se disponen en hileras longitudinales (Figs. 4A, B). Parapodios unirrámeos en los primeros dos setígeros, con cirro dorsal que sobrepasa ligeramente en longitud al lóbulo superior; lóbulos medio e inferior sobrepasan ampliamente al superior, cirro ventral aproximadamente la mitad de la longitud del lóbulo inferior. El resto de los parapodios birrámeos, similares a lo largo del cuerpo, con 3 lóbulos notopodiales triangulares separados, siendo el superior más ancho y 3 neuropodiales, de los cuales los dos superiores se solapan. Cirro dorsal implantado próximo a la base dorsal del lóbulo superior, el ventral algo alejado de la base del lóbulo neuropodial inferior (Figs. 4C-E). Notosetas espiníferas homogonfas dentadas. Neurosetas espiníferas homogonfas y falcíferas heterogonfas, ambas dentadas. Las falcíferas con artejo distal alargado y extremo curvo, con dientes relativamente robustos (Fig. 4F). Pigidio con dos cirros anales.

Coloración. Preservados en alcohol, la coloración es crema clara.

Observaciones. TAYLOR (1984) registra esta especie para

la costa norte del golfo de Méjico, y en la figura 31-12a se aprecia que la banda continua de paragnatos correspondientes a las áreas del anillo oral es de la misma anchura y está conformada por unas 5 hileras transversales. En nuestros ejemplares los paragnatos correspondientes a esas áreas se disponen en 2-4 hileras transversales, pero en la zona ventral la banda está constituida por 5-6 hileras. Asimismo, en el parapodio posterior (fig. 31-12c) el lóbulo neuropodial pre-setal se encuentra en posición dorsal al post-setal, mientras que en nuestros ejemplares se encuentran solapados.

Distribución: Cosmopolita en mares templados y subtropicales (TAYLOR, 1984).

Neanthes egregiacirrata (TREADWELL, 1924)
(Figuras 5A-E)

Nereis egregiacirrata: PETTIBONE, 1956: 284-287, Fig. 4a, 5a-d.

Neanthes egregiacirrata: DE LEÓN-GONZÁLEZ *et al.* 1999: 670-673, Fig. 1a-h, 2a-f.

Material examinado. LBP-Ne0055/1 Cabruta, Bahía de Mochima ($10^{\circ}22'49''\text{N}$, $64^{\circ}20'17''\text{O}$), 28-01-05; LBP-Ne0056/2 Cabruta, bahía de Mochima 21-02-05; LBP-Ne0057/1 Cabruta, bahía de Mochima 25-04-05. En colonias de *Millepora alcicornis* muertas, 0,5-1,5 m.

Caracterización. El mayor ejemplar con 15 mm de longitud y 0,4 mm de anchura, con 78 setígeros. Prostomio con un par de antenas cortas; dos pares de ojos en arreglo ligeramente trapezoidal. Peristomio con 4 pares de cirros tentaculares débil e irregularmente articulados, el par de

mayor longitud alcanza el setígero 4 (Fig. 5A). Faringe no evertida, por lo que no se pudo determinar la distribución de los paragnatos. Primeros dos parapodios unirrámeos, los siguientes birrámeos. Notopodio con dos lóbulos cónicos en los parapodios anteriores al setígero 6, más cortos en los medios y similares a los anteriores en los parapodios posteriores. Cirro dorsal cónico de mayor longitud que el ventral alargado, supera en longitud a los lóbulos parapodiales. El setígero 6 presenta un cirro dorsal largo, más de 3 veces la longitud del cirro del setígero precedente (Fig. 5B). Setas notopodiales espiníferas

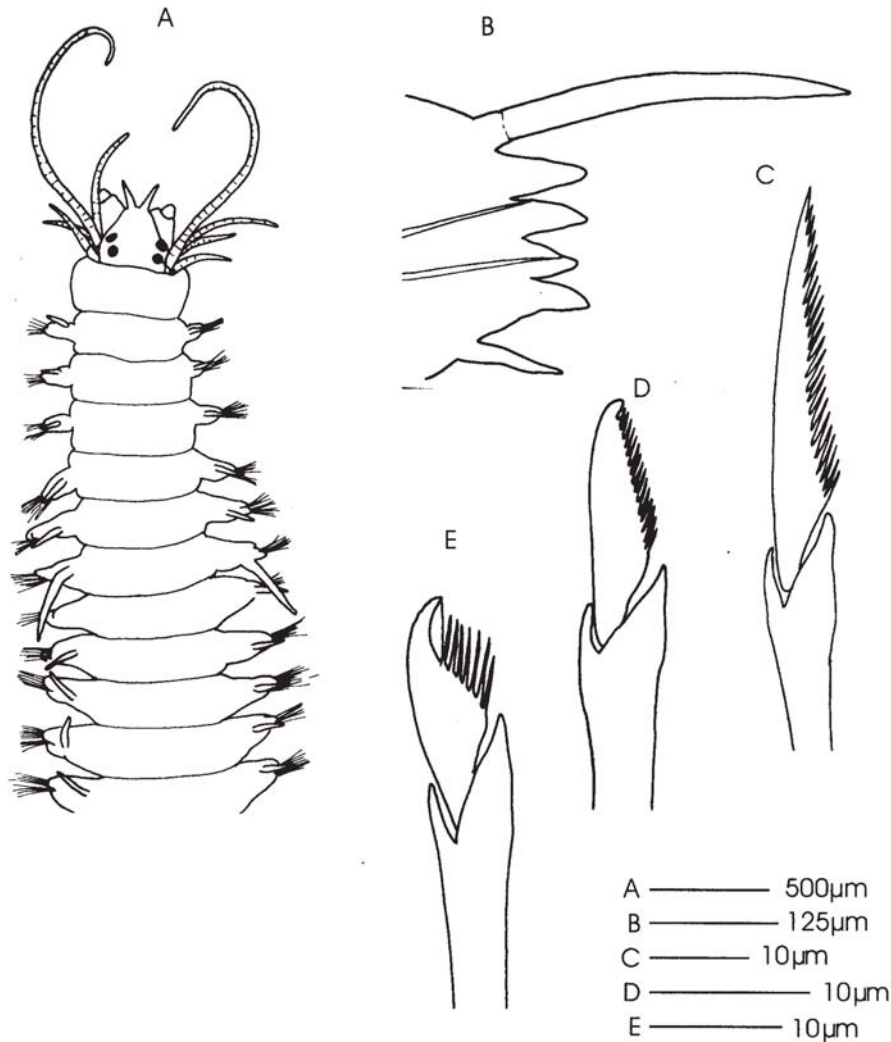


Fig. 5. *Neanthes egregiacirrata*. A, región anterior en vista dorsal; B, setígero 6; C, espinífera neuropodial; D, falcígera neuropodial supracircular de setígero anterior; E, falcígera neuropodial supracircular de setígero medio.

homogonfas con margen espinoso. Neurosetas supraaciculares del setígero 3 y del 6 espiníferas homogonfas y espiníferas heterogonfas con artejo distal corto (Fig. 5C). A partir del setígero 6 neurosetas supraciculares espiníferas homogonfas y falcíferas heterogonfas con margen del artejo distal espinuloso y punta roma (Fig. D). Neurosetas subaciculares de los setígeros 3 a 5 espiníferas heterogonfas con artejo corto; neurosetas subaciculares a partir del setígero 6 espiníferas y falcíferas heterogonfas, las de los parapodios anteriores similares a las supraciculares, y las de los parapodios medios

y posteriores con artejo distal ancho, extremo curvo y aguzado, margen con espinas relativamente gruesas (Fig. 5E).

Observaciones. El desarrollo que alcanzan los cirros dorsales del parapodio 6 es una característica resaltante de esta especie. Los ejemplares fueron colectados en fragmentos muertos del falso coral *Millepora alcicornis*.

Distribución. Mar Caribe.

Nereis oligohalina
(Figuras 6A-G)

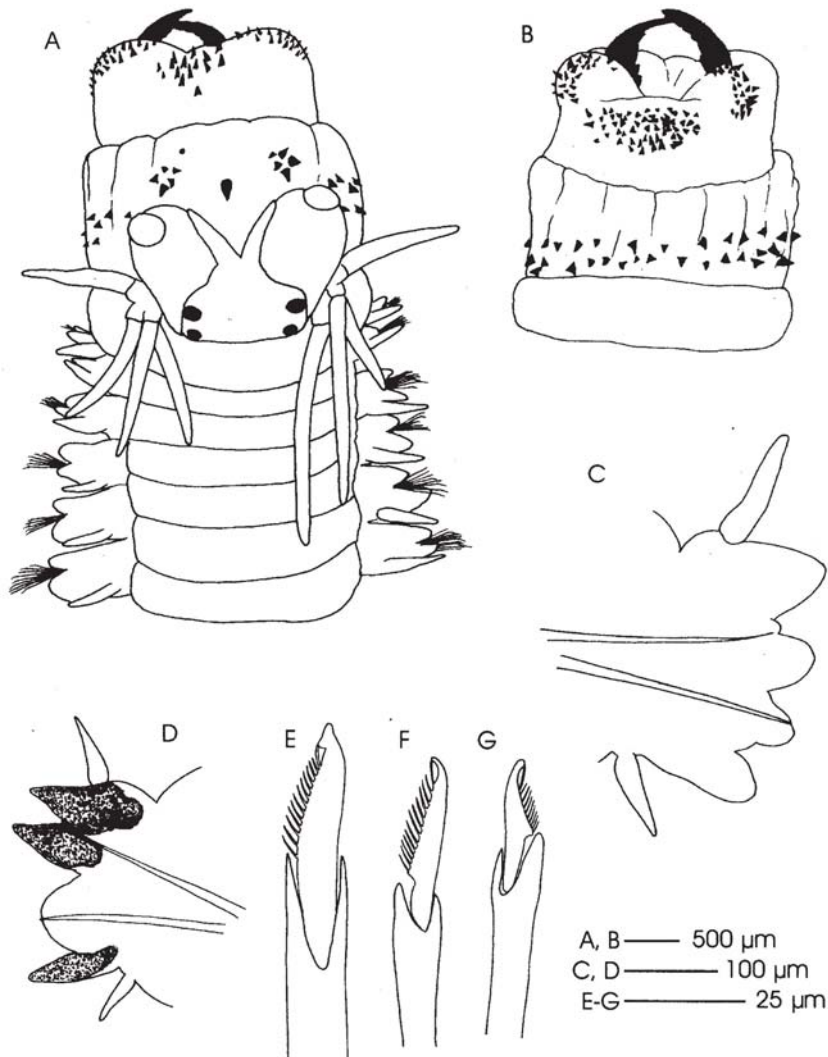


Fig. 6. *Nereis oligohalina*. A, región anterior en vista dorsal; B, faringe en vista ventral; C, setígero anterior (20); D, setígero posterior (68); E, falcígera notopodial de setígero posterior; F, G, neurosetas supraaciculares.

Neanthes oligohalina. RIOJA, 1946: 207-210, Lám. II, figs. 13-19; 1947: 529, 531.

Nereis oligohalina. HARTMAN, 1951: 46; SANTOS & LANA, 2003: 19-20, figs. 64-70.

Material examinado. LBP-Ne0058/1, laguna La Restinga (10° 58' 43" N, 64° 09' 21" O), 07-07-05, asociado a *Crassostrea rhizophorae*, 0-0,5 m.

Caracterización. El ejemplar midió 27 mm de longitud, 2,1 mm de anchura, con 78 setígeros. Prostomio con dos pares de ojos, los anteriores de mayor tamaño, palpoforos anchos, palpostilos esféricos; antenas cirriformes. Cuatro pares de cirros tentaculares, los mayores llegan hasta el setígero 6 (Fig. 6A, B). Distribución de los paragnatos: I: 17 – 19 en grupo, II: 16 en 2 hileras curvas, III 55-56 en grupo transversal, IV: 31-34 en grupo oblicuo de 2 – 4 hileras, V: 1 grande, VI: grupo de 5 grandes y medianos, en el área derecha se presenta 1, más pequeño, alejado hacia delante, VII-VIII: aproximadamente 40, en 2 hileras. Dos primeros parapodios unirrámeos, los restantes birrámeos. Parapodios anteriores (Fig. 6C) con lóbulos redondeados, cirro dorsal aproximadamente igual al lóbulo notopodial superior, cirro ventral corto. Parapodios medios con lóbulos triangulares, cirro dorsal sobrepasa ampliamente al lóbulo superior, cirro ventral aproximadamente la mitad del lóbulo inferior; parapodios posteriores (fig. 6D) con lóbulos notopodiales triangulares, cirro dorsal sobrepasa ligeramente al lóbulo superior, lígula neuropodial ancha, cirro ventral digitiforme. Notosetas espiníferas homogonfas, en los parapodios posteriores se presenta además una falcígera homogonfa con extremo distal expandido (fig. 6E). Neurosetas supraaciculares espiníferas homogonfas y falcígeras heterogonfas, con extremo curvo (figs. 3F, G). Neurosetas subaciculares espiníferas heterogonfas y falcígeras heterogonfas.

Observaciones. SANTOS & LANA (2003) señalan que los especímenes de Brasil poseen 7 paragnatos pequeños, intercalados con otros más grandes, en la hilera distal de las áreas VII-VIII. En nuestro ejemplar se aprecian algunos paragnatos pequeños, pero sin mostrar regularidad en la alternancia con los grandes. En las figuras de los parapodios de la región anterior (Lám. II, fig. 15) y de la región posterior (Lám. II, fig. 16) presentadas por RIOJA (1946), el cirro dorsal es más delgado y de mayor longitud que en los ejemplares de Brasil (Santos & Lana, 2003) y en el de La Restinga; lo mismo ocurre con los lóbulos del parapodio anterior de los ejemplares de Méjico, las cuales son aguzados, mientras que en los ejemplares de Brasil y

en el nuestro son redondeados; así mismo, el lóbulo neuropodial ventral de parapodios anteriores de los ejemplares de Méjico es digitiforme largo, mientras que en los de Brasil y en el colectado en La Restinga es corto y redondeado. Santos & Lana (2003) hacen algunas consideraciones acerca de la sinonimia de *N. oligohalina* con *N. occidentalis* Hartman (Pettibone, 1956) y de esta última con *N. falsa* Quatrefages (Day, 1973), y concluyen que los ejemplares de Brasil se identifican como *N. oligohalina* hasta que se realice un estudio con ejemplares del Atlántico Occidental, con lo cual coincidimos.

Distribución. Atlántico Occidental, desde Connecticut hasta Uruguay (PETTIBONE, 1971); isla de Margarita, Venezuela.

REFERENCIAS

- BÁEZ, D. P. & N. E. ARDILLA. 2003. Poliquetos (Annelida: Polychaeta) del Mar Caribe colombiano. *Biota Colombiana*, 4(1): 89-109.
- BONE, D. 1999. *Biodiversidad, sistemática y ecología de anélidos poliquetos en Venezuela*. Trab. Asc. Universidad Simón Bolívar, Caracas, Venezuela, 134 pp.
- DAY, J.H. 1973. New polychaeta from Beaufort, with a Key to all species recorded from North Carolina. *NOAA Technical Reports NMFS-Circ.* 375: 3-140.
- DE LEÓN, J. A., V. SOLÍS-WEISS & V. OCHOA-RIVERA. 1999. Nereidids (Polychaeta) from the Caribbean sea and adjacent coral islands of the southern Gulf of Mexico. *Proc. Biol. Soc. Wash.* 112(4): 667-681.
- DÍAZ, O & I. LIÑERO-ARANA. 2002. Poliquetos asociados a substratos artificiales sumergidos en la costa Nororiental de Venezuela IV Phyllodocida (Annelida: Polychaeta). *Bol. Inst. Oceanogr. Venezuela.* 41: 25-37.
- GARDINER, S. L. 1976. Errant Polychaete Annelids from North Carolina. *J. Elisha Mitchell Sci. Soc.* 91(3): 77-220.
- GLASBY, C. J. 1999. The Namanereidinae (Polychaeta: Nereididae). Part. 1. Taxonomy and phylogeny. *Rec. Aust. Mus.* 5 (Suppl.): 1-129.

- HARTMAN, O. 1944. Polychaetous annelids. *Allan Hancock Atl. Exped.* 3:1-33.
- _____. 1945. The marine annelids of North Carolina. *Bull. Duke Univ. Mar. St.* 2: 1-51.
- _____. 1951. The marine annelids of the Gulf of Mexico. *Publ. Inst. Mar. Sci. Texas*, 2: 7-24.
- HARTMANN-SCHRÖDER, G. 1985. Revision der Gattung *Ceratonereis* Kinberg (Nereididae, Polychaeta) (Mit besonderer Berücksichtigung der Arten mit eingeschnittenem prostomium). *Mitt. Hamb. Zool. Mus. Inst.* 82: 37-59.
- LIÑERO-ARANA, I., 1983. Dos nuevas especies de Nereididae (Polychaeta: Errantia) de la costa oriental de Venezuela. *Bol. Inst. Oceanogr. Venezuela*, 22 (1&2): 36.
- LIÑERO-ARANA, I. & G. Reyes-Vásquez. 1979. Nereididae (Polychaeta Errantia) del Golfo de Cariaco, Venezuela. *Bol. Inst. Oceanogr. Venezuela*, 18(1&2): 3-12.
- ORENSANZ, J. M. & M. C. Estívariz, 1971. Los anélidos poliquetos de aguas salobres de la provincia de Buenos Aires. *Rev. Mus. La Plata* 11 (Zool. 98): 95-114.
- ORENSANZ, J. M. & N. M. GIANUCA, 1974. Contribuição ao conhecimento dos anelídeos poliquetas do Rio Grande do Sul, Brasil. I. Lista sistemática preliminar e descrição de três novas espécies. *Comum. Mus. CI, PUCRGS, Porto Alegre*, 4: 1-37.
- PERKINS, T. H. 1980. Review of species referred to *Ceratonereis mirabilis* and new species of *Ceratonereis*, *Nephtys* and *Goniada*. *Proc. Biol. Soc. Wash.* 93: 1-49.
- PETTIBONE, M. H. 1956. Some polychaetous worms of the families Hesionidae, Syllidae, and Nereidae from the east coast of North America, West Indies, and Gulf of Mexico. *J. Wash. Acad. Sci.* 46: 281-294.
- _____. 1963. Marine polychaete worms of the New England region, 1. Aphroditidae to Trochochaetidae. *Bull. US Natl. Mus.* 227: 1-356.
- _____. 1971. Revision of some species referred to *Leptonereis*, *Nicon*, and *Laeonereis* (Polychaeta: Nereididae). *Smith. Contr. Zool.* 104: 1-53.
- RENAUD, J. C. 1956. A report on some polychaetous annelids from the Miami-Bimini area. *Am. Mus. Novit.* 1812: 1-40.
- RIOJA, E. 1946. Nereidos de aguas salobres de los estuarios del litoral del Golfo de México. *An. Inst. Biol. México*, 17: 205-214.
- SALAZAR-VALLEJO, S. I. & M. S. JIMÉNEZ-CUETO. 1996-1997. Neréidos (Polychaeta) del Caribe Mexicano con una clave para las especies del Gran Caribe. *Rev. Biol. Trop.* 44(3)/45(1): 361-377.
- SANTOS, C. S. G. & P. C. LANA. 2001. Nereididae (Annelida, Polychaeta) da costa nordeste do Brasil. II. Gêneros *Namalycastis*, *Ceratocephale*, *Laeonereis* e *Rullierinereis*. *Iheringia, Sér. Zool. Porto Alegre*, 91: 137-149.
- _____. 2003. Nereididae (Polychaeta) da costa nordeste do Brasil. III. Gêneros *Ceratonereis* e *Nereis*. *Iheringia, Sér. Zool. Porto Alegre*, 93 (1): 5-22.
- SANTOS, C. S. G., F. PLEIJEL, P. LANA & G. W. ROUSE. 2006. Phylogenetic relationships within Nereididae (Annelida: Phyllodocida). *Inv. Syst.* 19(6) 557-576.
- TAYLOR, J. 1984. Nereidae Johnston. 1845. In: J.M. Uebelacker & P.G. Johnson (Eds.) Taxonomic guide to the polychaetes of the northern Gulf of Mexico. *Final report to the Mineral Management Service, contract 14-152-29091. Barry A. Vitor & Ass., Inc., Mobile, Alabama.* Vol. V: 31-1/31-42.
- VANEGAS ESPINOSA, V., O. DÍAZ DÍAZ & I. LIÑERO-ARANA. 2007. Nereididae Johnston, 1865 (Annelida: Polychaeta) de la costa occidental de Venezuela. *Bol. Inst. Oceanogr. Venezuela*, 46 (2) 117-124.

RECIBIDO: Octubre 2007
ACEPTADO: Diciembre 2007